

## شبیه سازی واحد تبدیل کاتالیستی نفتای سنگین

### توسط نرم افزار Aspen Plus

سپهر صدیقی<sup>\*</sup><sup>۱</sup>، سید رضا سیف محدثی<sup>۲</sup>، فربد ریخته گر<sup>۳</sup>

<sup>۱</sup> دکترا، مدیر پژوهش، پژوهشگاه صنعت نفت، پژوهشکده کاتالیست و نانو فناوری، واحد مهندسی واکنش های کاتالیستی  
<sup>۲</sup> فوق لیسانس، مدیر طرح، پژوهشگاه صنعت نفت، پژوهشکده کاتالیست و نانو فناوری، واحد مهندسی واکنش های کاتالیستی  
<sup>۳</sup> فوق لیسانس، شرکت بهینه سازی مصرف سوخت، مدیریت بهینه سازی انرژی در بخش صنعت

دریافت: ۹۲/۶/۱۷ پذیرش: ۹۲/۲/۱۴

#### چکیده

شبیه سازی واحدهای پالایشگاهی با توجه به پیچیدگی فرآیند و عدم وجود سینتیک مناسب همواره با مشکلات فراوانی همراه می باشد. در سال های اخیر نرم افزارهایی چون اسپن پلاس جهت شبیه سازی و بررسی فرآیندهای پالایشگاهی مورد استفاده قرار گرفته که در این خصوص تا حدودی موجب تسهیل و دستاوردن مناسب شده است. در این مقاله شبیه سازی واحد تبدیل کاتالیستی نفتا با استفاده از نرم افزار اسپن پلاس نسخه ۲۰۱۲ انجام شده است. نتایج شبیه ساز پس از تنظیم ضرایب سینتیکی واکنش ها با اطلاعات جمع آوری شده از واحد، مورد مقایسه قرار گرفته اند. این نتایج نشان می دهد درصد خطای مطلق میانگین برای دماهای خروجی از سه راکتور به ترتیب ۰/۷۹، ۰/۷۴ و ۰/۳۵ درصد و برای ترکیب نسبی پارافین و آروماتیک در جریان خروجی به ترتیب ۲/۱۷ و ۲/۴۶ درصد بوده که نشانه صحت ضرایب سینتیکی تصحیح شده و شبیه ساز می باشد.

**کلمات کلیدی:** شبیه سازی، مدلسازی، تبدیل کاتالیستی نفتا، اسپن پلاس

#### مقدمه

هر سال اتومبیل های جدیدی وارد بازار مصرف می شوند که نیاز به سوخت هایی با عدد اکتان بالا را توجیه می نماید [۱]. بنزینی که از تقطیر مستقیم نفت خام بدست آمده عدد اکتان پائینی دارد که لازم است در واحدهای مختلف پالایش، بنزین نامرغوب به بنزین مرغوب با عدد اکتان بالا تبدیل شود که این عمل در واحد تبدیل کاتالیستی نفتا<sup>۱</sup> انجام می گیرد [۲]. امروزه این فرآیند علاوه بر تولید بنزین با عدد اکتان بالا، جهت تولید آروماتیک های گران بها نظری بنزن، تولوئن و زایلن نیز به کار می رود. فرآیند تبدیل کاتالیستی نفتا یکی از واحدهای اساسی هر پالایشگاه است که اهداف آن را می توان به صورت زیر دسته بندی نمود:

۱- تولید بنزین با عدد اکتان بالا

\* Sadighis@ripi.ir

<sup>۱</sup> Catalytic Naphtha Reforming Unit

## ۲- تهیه آروماتیک‌ها برای صنایع پتروشیمی

۳- تولید هیدروژن برای مصارف صنعتی از قبیل: هیدروکراکینگ و گوگردگیری خوراک این واحد، بنزین سنگین و نفتا می‌باشد. که از هیدروکربن‌های مختلف پارافینی، نفتانی و آروماتیکی شامل ۵ الی ۱۰ کربن ( $C_5-C_{10}$ ) تشکیل شده، اما اکثربت آنها شامل هیدروکربن‌های ۶ تا ۹ کربنی است. محصول اصلی این واحد، بنزینی با عدد اکتان بالا و هیدروژن، پروپان و بوتان به عنوان فرآورده‌های فرعی می‌باشد. هیدروژن تولیدی نیز در خود واحد یا در واحدهای دیگر پالایشگاهی مصرف می‌گردد [۱-۳].

برای فرآیند تبدیل کاتالیستی نفتای بستر ثابت، تاکنون با نرم افزارهایی از قبیل هایسیس<sup>۱</sup> و پتروسیم<sup>۲</sup> شبیه سازی‌هایی انجام شده است [۴-۹]. هدف از این مقاله، شبیه سازی بخش واکنش واحد تبدیل کاتالیستی نفتا به کمک نرم افزار اسپن پلاس<sup>۳</sup> است که شامل ۳ راکتور پلاگ و یک جداساز یک مرحله‌ای<sup>۴</sup> می‌باشد. خوراک ورودی که در عمل ترکیبی از هیدروکربن‌های پارافینی، نفتانی و آروماتیکی به صورت شبه جز<sup>۵</sup> است، به صورت مدل لامپی<sup>۶</sup> (ترکیبی از اجزا مشخص) فرض شده است [۱۱-۱۳]. نتایج شبیه سازی با نتایجی که توسط پادماواتی<sup>۷</sup> [۱۴] ارائه شده، مقایسه شده‌اند. سپس ثوابت و فرضیات ارائه شده، به منظور شبیه سازی واحد تبدیل کاتالیستی نفتای پالایشگاه تهران به کار رفته و نتایج با اطلاعات عملیاتی مقایسه شده‌اند.

## شبیه سازی بخش واکنش واحد تبدیل کاتالیستی نفتا

### ۱- خوراک ورودی

خوراک ورودی به این واحد، نفتای سنگین می‌باشد که مخلوطی از برش‌های پارافینی، نفتانی و آروماتیکی شامل ترکیبات ۵ تا ۱۰ کربنی است. برای شبیه سازی این واحد، خوراک به صورت مخلوطی از نرمال پارافین‌ها (NP)، ایزوپارافین‌ها (IP)، آلکیل سیکلو پنتان‌ها (ACP)، آلکیل سیکلو-هگزان‌ها (ACH) و آروماتیک‌های ( $A_n$ ) ۶ تا ۹ کربنی ( $C_6-C_9$ ) در نظر گرفته می‌شود. از هر کدام از گروه‌های مذکور یک ماده به عنوان هیدروکربن شرکت کننده در واکنش انتخاب می‌شود (جدول ۱).

<sup>1</sup> Hysys

<sup>2</sup> Petro-sim

<sup>3</sup> Aspen plus

<sup>4</sup> Flash drum

<sup>5</sup> Pseudo Component

<sup>6</sup> Lump model

<sup>7</sup> Padmavathi

## جدول ۱. هیدروکربین‌های فرض شده در خوراک ورودی

شاخص ترکیب در اسپن پلاس	گروه	نام ترکیب	وزن مولکولی فرمول مولکولی
N-HEX-01	NP <sub>6</sub>	N-HEXANE	C <sub>6</sub> H <sub>14</sub> 86.18
3-MET-01	IP <sub>6</sub>	3-METHYL-PENTANE	C <sub>6</sub> H <sub>14</sub> 86.18
CYCLO-01	ACH <sub>6</sub>	CYCLOHEXANE	C <sub>6</sub> H <sub>12</sub> 84.16
METHY-01	ACP <sub>6</sub>	METHYLCYCLOPENTANE	C <sub>6</sub> H <sub>12</sub> 84.16
BENZE-01	A <sub>7</sub>	BENZENE	C <sub>6</sub> H <sub>6</sub> 78.11
N-HEP-01	NP <sub>7</sub>	N-HEPTANE	C <sub>7</sub> H <sub>16</sub> 100.20
3-MET-02	IP <sub>7</sub>	2-METHYLHEXANE	C <sub>7</sub> H <sub>16</sub> 100.20
METHY-02	ACH <sub>7</sub>	METHYLCYCLOHEXANE	C <sub>7</sub> H <sub>14</sub> 98.19
1,1-D-01	ACP <sub>7</sub>	1,1-DIMETHYLCYCLOPENTANE	C <sub>7</sub> H <sub>14</sub> 98.19
TOLUE-01	A <sub>7</sub>	TOLUENE	C <sub>7</sub> H <sub>8</sub> 92.14
N-OCT-01	NP <sub>8</sub>	N-OCTANE	C <sub>8</sub> H <sub>18</sub> 114.23
2,2,4-01	IP <sub>8</sub>	2,2,4-TRIMETHYL PENTANE	C <sub>8</sub> H <sub>18</sub> 114.23
ETHYL-01	ACH <sub>8</sub>	ETHYLCYCLOHEXANE	C <sub>8</sub> H <sub>16</sub> 112.22
1-MET-01	ACP <sub>8</sub>	1-METHYL-1-ETHYLCYCLOPENTANE	C <sub>8</sub> H <sub>16</sub> 112.22
ETHYL-02	A <sub>8</sub>	ETHYLBENZENE	C <sub>8</sub> H <sub>10</sub> 106.17
N-NON-01	NP <sub>9</sub>	N-NONANE	C <sub>9</sub> H <sub>20</sub> 128.26
3,3-D-01	IP <sub>9</sub>	3,3-DIETHYL PENTANE	C <sub>9</sub> H <sub>20</sub> 128.26
N-PRO-01	ACH <sub>9</sub>	N-PROPYLCYCLOHEXANE	C <sub>9</sub> H <sub>18</sub> 126.24
N-BUT-01	ACP <sub>9</sub>	N-BUTYLCYCLOPENTANE	C <sub>9</sub> H <sub>18</sub> 126.24
1,2,4-01	A <sub>9</sub>	1,2,4-TRIMETHYL BENZENE	C <sub>9</sub> H <sub>12</sub> 120.19

در نتیجه خوراک نفتای ورودی شامل ۲۰ هیدروکربن یا به عبارتی ۲۰ لامپ می‌باشد. با توجه به اینکه خوراک ورودی با هیدروژن ترکیب شده و جریان برگشتی حاوی نرمال پارافین‌های ۱ تا ۵ کربنی است، لذا جمua ۲۶ جز در واکنش شرکت نموده یا محصول واکنش می‌باشند.

### ۲- واکنش‌ها

برای واکنش‌های تبدیل کاتالیستی، مشابه تحقیقات انجام شده توسط دیگر محققین، ۲۰ هیدروکربن به عنوان اجزا شرکت کننده در واکنش، در نظر گرفته شده است [۱۱-۱۵].

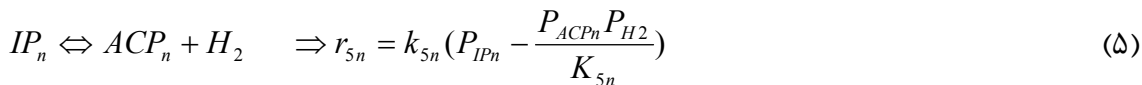
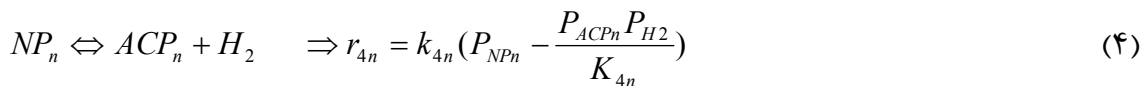
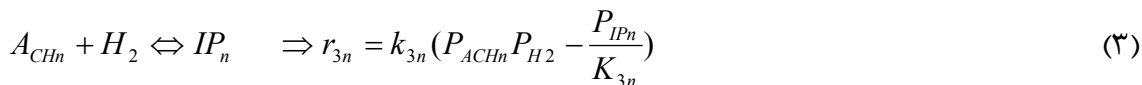
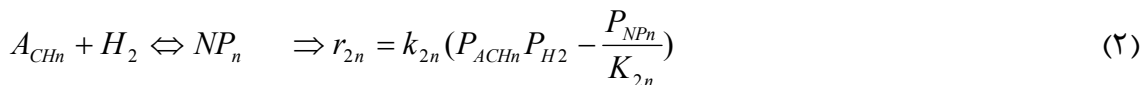
### ۱-۱- واکنش هیدروژن زدایی

این واکنش گرماگیر و بسیار سریع بوده و سیکلو آلکانها را به آروماتیک‌ها تبدیل می‌نماید، در نتیجه تاثیر قابل ملاحظه‌ای بر عدد اکتان محصول خواهد داشت [۱۱-۱۴].

$$A_{CHn} \Leftrightarrow A_n + 3H_2 \quad \Rightarrow r_{1n} = k_{1n} (P_{ACHn} - \frac{P_{An} P_{H_2}^3}{K_{1n}}) \quad (1)$$

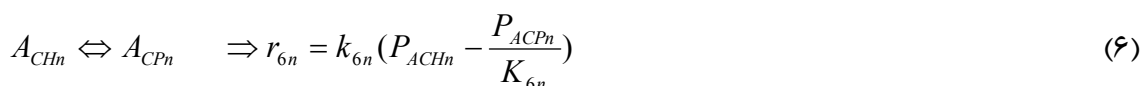
## ۲-۲- واکنش های حلقوی شدن

این واکنش‌ها اصلی‌ترین واکنش‌های تبدیل کاتالیستی نفتا و نیز کندترین آنهاست. حلقوی شدن توأم با هیدروژن زدایی پارافین‌ها و تبدیل آنها به آروماتیک‌هاست [۱۱-۱۴].



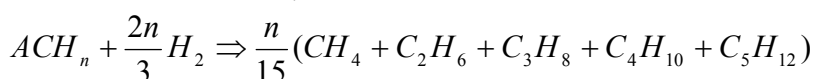
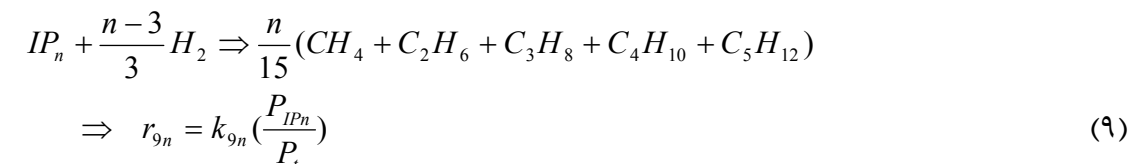
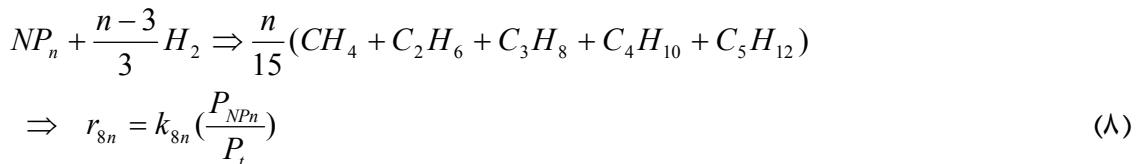
## ۳-۲- واکنش های ایزومری شدن

ایزومری شدن آلکیل سیکلو پنتان‌ها به آلکیل سیکلو هگزان‌ها با تبدیل آلکیل سیکلو هگزان‌ها به آروماتیک‌ها کامل می‌شود. ایزومری شدن نرمال پارافین‌ها به ایزوپارافین‌ها بسیار مطلوب است. چون خوارک نفتای ورودی حاوی مقدار قابل توجهی از نرمال پارافین‌ها بوده و با تبدیل نرمال پارافین‌ها به ایزو پارافین‌ها، عدد اکтан محصول افزایش می‌یابد [۱۱-۱۴].

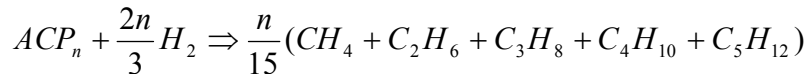


## ۴-۲- شکسته شدن توسط هیدروژن (هیدروکراکینگ)

واکنش هیدروکراکینگ گرمaza بوده و یک طرفه می‌باشد. هیدروکراکینگ نفتان‌ها کمتر از پارافین‌ها است. در گروه نفتان‌ها، سیکلوپنتان‌ها سریعتر از سیکلوهگزان‌ها شکسته می‌شوند [۱۱-۱۴].



$$\Rightarrow r_{10n} = k_{10n} \left( \frac{P_{ACHn}}{P_t} \right) \quad (10)$$



$$\Rightarrow r_{11n} = k_{11n} \left( \frac{P_{ACPn}}{P_t} \right) \quad (11)$$

(برای تمامی واکنش‌های ۱ تا ۱۱، n از ۶ تا ۹ می‌باشد)

## ۵-۲- هیدرو دی آلکیلاسیون

این واکنش یکطرفه و بسیار آهسته صورت می‌گیرد و آروماتیک‌های با کربن بیشتر به آروماتیک‌های با کربن کمتر تبدیل می‌شوند [۱۴-۱۱].

$$A_{n+1} + H_2 \Leftrightarrow A_n + CH_4 \quad \Rightarrow r_{12n} = k_{12n} P_{An+1} P_{H2}^{0.5} \quad (12)$$

(برای واکنش ۱۲، n از ۶ تا ۸ می‌باشد)

سرعت نسبی و وضعیت گرمایی واکنش‌های فوق در جدول (۲) خلاصه ارائه شده‌اند.

جدول ۲. سرعت نسبی و وضعیت گرمایی واکنش‌های تبدیل کاتالیستی نفتا

وضعیت گرمایی واکنش	سرعت نسبی واکنش	نوع واکنش
حرارت گیر	سریع	هیدروژن زدایی
حرارت گیر	آهسته	حلقوی شدن
حرارت زا	سریع	ایزومری شدن
حرارت زا	آهسته ترین	هیدروکراکینگ
حرارت زا	آهسته	دی هیدروآلکیلاسیون

در واکنش‌های ۱ تا ۱۲،  $k_{12n}$  ثابت سرعت واکنش رفت و  $K_{ln}$  ثابت تعادل فشاری واکنش دو طرفه ( $K_p$ ) است. برای تمامی واکنش‌ها نیز مطابق تحقیقات گزارش شده در منابع علمی [۱۱-۱۴]، از مدل سینتیکی توانی یا آرنیوسی مطابق معادله (۱۳) استفاده شده و انرژی اکتیواسیون و ضریب آرنیوس واکنش‌ها از جدول (۳) بدست می‌آید.

$$r_n = AT^n \exp\left(\frac{-E}{RT}\right) \quad (13)$$

مقدار  $K_p$  از طریق ثابت تعادل ترمودینامیکی ( $K$ ) مطابق معادله (۱۴) محاسبه می‌شود:

$$K_p = K \cdot (P^0)^{D_n} \quad (14)$$

در رابطه فوق، تفاضل مول‌های محصول (سمت راست واکنش) از مول‌های واکنش دهنده (سمت چپ واکنش) و  $P^0$  فشار استاندارد می‌باشند.

مقدار  $K$  نیز از رابطه (۱۵) قابل محاسبه است:

$$K = \exp\left(\frac{-\Delta G}{RT}\right) \quad (15)$$



در معادله (۱۵)،  $\Delta G$  تغییرات انرژی گیبس در شرایط واکنش، T دمای مطلق و R ثابت گازهاست. با محاسبه  $K_p$  مقدار ثابت سرعت واکنش برگشت نیز مطابق رابطه (۱۶) محاسبه می‌گردد:

$$k_{backward} = \frac{k f_{forward}}{K_p} \quad (16)$$

برای تعریف واکنش‌ها در محیط اسپن نیاز به فرم توانی ثابت سرعت واکنش برگشت است که با استفاده از توضیحات ارائه شده و استخراج انرژی‌های گیبس واکنش دهنده‌ها و محصولات از بانک اطلاعاتی اسپن، فرم توانی استفاده شده است.

**جدول ۳. انرژی اکتیواسیون و ضریب آرنیوس واکنش‌های ۱ تا ۱۲ (مسیر رفت) [۱۴]**

		$(E/R) * 10^{-3}$ K	$\ln(A)$ kmol/h.kgcat.kPa
$ACH_n \rightleftharpoons A_n + 3H_2$	C6	19.5	18.88
	C7	19.5	19.36
	C8	19.5	19.53
	C9	19.5	20.38
$ACH_n + H_2 \rightleftharpoons NP_n^{**}$	C6	33.11	24.37
	C7	33.11	24.43
	C8	33.11	27.61
	C9	33.11	29.76
$ACH_n + H_2 \rightleftharpoons IP_n^{**}$	C6	33.11	26.36
	C7	33.11	26.76
	C8	33.11	28.96
	C9	33.11	29.76
$NP_n \rightleftharpoons ACP_n + H_2$	C6	33.11	29.07
	C7	33.11	29.13
	C8	33.11	31.38
	C9	33.11	32.96
$IP_n \rightleftharpoons ACP_n + H_2$	C6	33.11	29.07
	C7	33.11	29.13
	C8	33.11	31.38
	C9	33.11	32.96
$ACH_n \rightleftharpoons ACP_n$	C6	26	26.08
	C7	26	26.08
	C8	26	26.08
	C9	26	26.08
$NP_n \rightleftharpoons IP_n$	C6	26	26.08
	C7	26	26.08
	C8	26	26.08
	C9	26	26.08
$NP_n + (n-3)/3 H_2 \xrightarrow{n/15 (CH_4 + C_2H_6 + C_3H_8 + C_4H_{10} + C_5H_{12})^*}$	C6	34.61	40.3
	C7	34.61	40.5
	C8	34.61	40.6
	C9	34.61	42.5
$IP_n + (n-3)/3 H_2 \xrightarrow{n/15 (CH_4 + C_2H_6 + C_3H_8 + C_4H_{10} + C_5H_{12})^*}$	C6	34.61	40.5
	C7	34.61	40.6
	C8	34.61	40.7
	C9	34.61	42.5
$ACH_n, ACP_n + 2n/3 H_2 \xrightarrow{n/15 (CH_4 + C_2H_6 + C_3H_8 + C_4H_{10} + C_5H_{12})^*}$	C6	34.61	42
	C7	34.61	42.5
	C8	34.61	43.5
	C9	34.61	44
$A_{n+1} + H_2 \xrightarrow{-A_p} CH_4^+$	C6 - C7	17.92	5.57

Units of A:  
 \*\* kmol/h.kg cat.kPa<sup>2</sup>  
 \* kmol/h.kg cat  
 + kmol/h.kg cat.kPa<sup>1.5</sup>

### ۳- شرح فرآیند

دیاگرامی از بخش واکنش واحد تبدیل کاتالیستی نفتا، در شکل (۱) نشان داده شده است. کاتالیست در بین سه راکتور آدیباتیک (R1، R-2 و R-3) با درصد معین، توزیع می‌شود. خوراک قبل از ورود به هر راکتور، توسط پیش گرم کن‌های بین مرحله‌ای<sup>۱</sup> (پیش گرم کن‌های H-1، H-2 و H-3) گرم می‌گردد.

خوراک نفتای ورودی با جریان برگشتی از جداکننده مخلوط شده، سپس قبل از ورود به اولین راکتور، تا دمای مورد نظر، پیش گرم می‌گردد. دما در اولین راکتور به علت انجام واکنش هیدروژن زدایی (تبدیل نفت به آروماتیک) به سرعت افت خواهد نمود. جریان خروجی از راکتور اول مجدداً پیش گرم شده (H-2) و وارد راکتور دوم (R-2) می‌گردد. در این راکتور بیشتر واکنش‌های ایزومری شدن، صورت می‌گیرد. خروجی از راکتور دوم مجدداً حرارت داده شده (H-3) و وارد راکتور سوم (R-3) می‌شود. در این راکتور بیشتر واکنش‌های کراکینگ رخ می‌دهد. بعلت گرما زا بودن این واکنش‌ها، افت دما در راکتور سوم کمتر از دو راکتور قبلی خواهد بود.

جریان خروجی از راکتور سوم تا دمای فلاش (حدود ۳۰ تا ۴۰ درجه سانتیگراد) سرد شده (E-2) و وارد جداکننده تعادلی می‌شود. بخش عمده (بین ۶۰ تا ۹۰ درصد مولی) گازهای خروجی از جداکننده، هیدروژن و مابقی آن گازهای سبک متان، اتان، پروپان و مقدار کمی بوتان و پنتان می‌باشد. این جریان، جریان برگشتی واحد بوده و به ورودی اولین راکتور باز می‌گردد تا با خوراک نفتای ورودی (نسبت مولی هیدروژن به خوراک نفتا حدود ۴/۵ تا ۱۰، با توجه به شرایط عملیاتی و نوع خوراک متغیر است) ترکیب شود. مایع خروجی از محفظه فلاش، بنزین واحد تبدیل کاتالیستی نفتا، که محصول اصلی فرآیند تبدیل کاتالیستی است. این جریان جهت پایداری و جدا نمودن هیدروکربن‌های C<sub>1</sub> تا C<sub>4</sub> و هیدروژن باقیمانده به برج ثبیت فرستاده می‌شود.

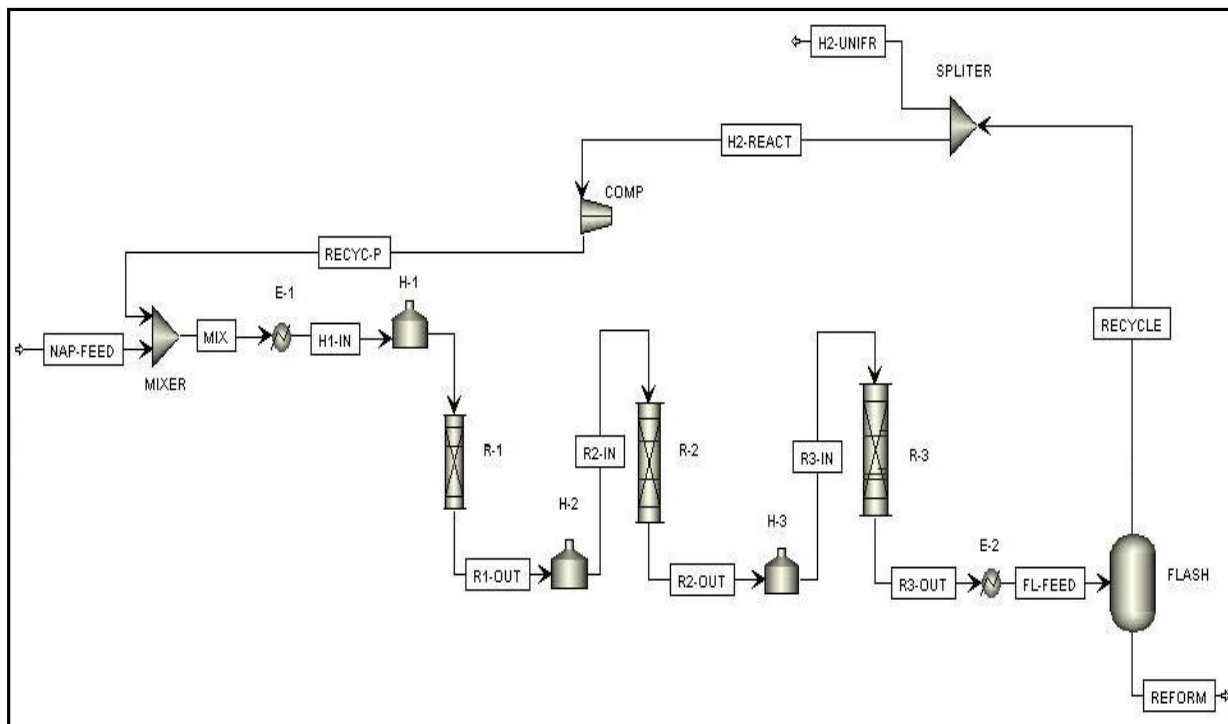
برای مورد های مطالعاتی ۱ و ۲، اولین راکتور (R-1) همیشه کوچکترین راکتور بوده و بین ۸ تا ۲۰ درصد کل کاتالیست در آن بارگذاری می‌گردد. در فرآیند تبدیل کاتالیستی نفتای پالایشگاه تهران توزیع وزنی کاتالیست از راکتور اول به راکتور سوم، به ترتیب ۳۰، ۲۰ و ۵۰ درصد می‌باشد.

### ۴- اطلاعات ورودی

#### ۴-۱- اجزا خوراک

اجزا خوراک برای دو مورد مطالعاتی ۱ و ۲ در جدول (۴) ارائه شده‌اند. طیف خوراک ورودی نمونه‌های مطالعاتی ۱ و ۲ و پالایشگاه تهران نیز در جدول (۵) ارائه شده است. منظور از موردهای مطالعاتی ۱ و ۲ در این گزارش، نمونه‌هایی هستند که پادماواتی در مرجع [۱۴] در بررسی مدل خود از آنها استفاده نموده است. شرایط عملیاتی هر یک از این موردهای مطالعاتی و شرایط عملیاتی پالایشگاه تهران، در جدول (۶) ارائه شده است.

<sup>۱</sup>Interstage heaters



شکل ۱. بخش واکنش واحد تبدیل کاتالیستی نفتا

جدول ۴. ترکیب درصد اجزا خوراک در موردهای مطالعاتی [۱۴]

اجزا خوراک	گروه کربنی	مورد مطالعاتی ۱ (درصد جرمی)	مورد مطالعاتی ۲ (درصد جرمی)
پارافین ها (P)	C <sub>6</sub>	۳۷	۱۱/۵۱
	C <sub>7</sub>	۸	۲۷/۴۷
	C <sub>8</sub>	-	۲۵/۸۷
	C <sub>9</sub>	-	۱/۹۱
نفتنی ها (N)	C <sub>6</sub>	۲۸	۵/۵۸
	C <sub>7</sub>	۴	۱۴
	C <sub>8</sub>	-	۶/۶۰
	C <sub>9</sub>	-	۰/۴۷
آروماتیک ها (P)	C <sub>6</sub>	۲۲/۹	۰
	C <sub>7</sub>	۰/۱	۰/۴۹
	C <sub>8</sub>	-	۴/۰۸
	C <sub>9</sub>	-	۲/۰۲

نسبت بین، نرمال پارافین به ایزو پارافین، ۱ به ۲ و نسبت سیکلو هگزانها به سیکلو پنتانها، ۱ به ۱، فرض شده است. این نسبت ها بر مبنای خوراک ورودی به پالایشگاه تهران می باشد. در نتیجه برای بدست آوردن مدل لامپی که در آن کلیه اجزا مشخص هستند، بجای اجزای جدول (۴) از جدول (۵) استفاده می گردد.

#### جدول ۵. جز جرمی هیدروکربن های فرض شده در خوراک نفتای سنگین

##### ورودی به واحد تبدیل کاتالیستی نفتا

نام ترکیب	جز جرمی در خوراک (مورد مطالعاتی ۱)	جز جرمی در خوراک (مورد مطالعاتی ۲)	جز جرمی در خوراک (پالایشگاه تهران)
N-HEXANE	0.1233	0.0384	0.0362
3-METHYL-PENTANE	0.2467	0.0767	0.0172
CYCLOHEXANE	0.1400	0.0279	0.0222
METHYLCYCLOPENTANE	0.1400	0.0279	0.0192
BENZENE	0.2290	0.0000	0.0092
N-HEPTANE	0.0267	0.0916	0.082
2-METHYLHEXANE	0.0533	0.1831	0.076
METHYLCYCLOHEXANE	0.0200	0.0700	0.065
1,1-DIMETHYLCYCLOPENTANE	0.0200	0.0700	0.055
TOLUENE	0.0010	0.0049	0.043
N-OCTANE	0.0000	0.0862	0.1758
2,2,4-TRIMETHYL PENTANE	0.0000	0.1725	0.1195
ETHYLCYCLOHEXANE	0.0000	0.0330	Not Specified
1-METHYL-1-ETHYLCYCLOPENTANE	0.0000	0.0330	Not Specified
ETHYLBENZENE	0.0000	0.0408	0.1135
N-NONANE	0.0000	0.0064	0.097
3,3-DIETHYL PENTANE	0.0000	0.0127	0.032
N-PROPYLCYCLOHEXANE	0.0000	0.0024	Not Specified
N-BUTYLCYCLOPENTANE	0.0000	0.0024	Not Specified
1,2,4-TRIMETHYLBENZENE	0.0000	0.0202	0.013
HYDROGEN	0.0000	0.0000	0
METHANE	0.0000	0.0000	0
ETHANE	0.0000	0.0000	0
PROPANE	0.0000	0.0000	0
N-BUTANE	0.0000	0.0000	0
N-PENTANE	0.0000	0.0000	0
<b>Total</b>	<b>1.00</b>	<b>1.00</b>	<b>0.9758<sup>۱</sup></b>

#### ۴-مشخصات خوراک و جریان های ورودی به راکتورها

مشخصات فرآیندی (دمای فشار، دبی) خوراک ورودی به راکتورها و نسبت مولی هیدروژن بازگشتی به مول خوراک ورودی برای هر مورد مطالعاتی و پالایشگاه تهران، در جدول (۶) ارائه شده است.

<sup>۱</sup> برای خوراک ورودی پالایشگاه تهران، بعضی از اجزا دقیقا در آنالیز مشخص نشده اند. آنالیز ورودی به نرم افزار ASPEN، توسط نرم افزار Normalize می گردد.

#### ۴-۳-مشخصات راکتورهای تبدیل کاتالیستی نفتا

راکتورهای تبدیل کاتالیستی نفتا از نوع پلاگ<sup>۱</sup> و آدیباتیک در نظر گرفته می‌شود [۱-۲]. کل کاتالیست موجود در راکتورها، درصد توزیع کاتالیست در هر راکتور، دانسیته کاتالیست بارگذاری شده در راکتورها و ابعاد راکتورها در جدول (۷) ارائه شده‌اند.

**جدول ۶. مشخصات فرآیندی موردهای مطالعاتی**

مشخصات فرآیندی	مورد ۱	مورد ۲	پالایشگاه تهران
دبی جرمی خوراک ورودی (kg/hr)	۲۸۷۵۰	۱۰۱۷۰	۷۵۵۳۶
نسبت مول هیدروژن برگشتی به مول خوراک	۴/۸	۵/۵	۴/۶۶
دماهی ورودی به راکتور اول (°C)	۵۱۱/۴	۴۸۵	۴۹۷/۸
دماهی ورودی به راکتور دوم (°C)	۵۱۱/۲	۴۸۵	۴۹۷/۸
دماهی ورودی به راکتور سوم (°C)	۵۱۱/۷	۴۸۵	۴۹۸/۹
فشار خوراک ورودی به اولین راکتور (kPa)	۲۸۸۹	۲۷۳۶	~۳۱۰۰
افت فشار در هر راکتور (kPa)	~۱۰۱/۳۲۵	~۱۰۱/۳۲۵	~۱۰۰
فشار فلاش (kPa)	~۲۲۳۰	~۲۲۳۰	~۲۲۳۰

**جدول ۷-مشخصات راکتورها برای موردهای مطالعاتی و پالایشگاه تهران**

مشخصات راکتورها	مورد مطالعاتی ۱	مورد مطالعاتی ۲	پالایشگاه تهران
وزن کل کاتالیست (kg)	۱۸۴۱۵	۶۰۹۰	۴۵۳۱۸
دانسیته ظاهری کاتالیست در راکتورها (kg/m³)	~۷۳۰/۸	~۷۳۰/۸	~۷۳۰/۸
توزیع جرمی کاتالیست در راکتور اول (درصد)	۲۰	۱۹/۲	۲۰
توزیع جرمی کاتالیست در راکتور دوم (درصد)	۴۰	۴۰/۴	۳۰
توزیع جرمی کاتالیست در راکتور سوم (درصد)	۴۰	۴۰/۴	۵۰
قطر راکتور اول (m)	۱/۳۲۴	۰/۹۰۳	۱/۷۵۵
قطر راکتور دوم (m)	۱/۶۹۱	۱/۱۷۳	۲/۱۰۱
قطر راکتور سوم (m)	۱/۶۸۶	۱/۱۷۰	۲/۴۲۲
طول راکتور اول (m)	۳/۶۶۴	۲/۴۹۹	۴/۸۵۹
طول راکتور دوم (m)	۴/۴۸۹	۳/۱۱۵	۵/۵۷۷
طول راکتور سوم (m)	۴/۶۱۲	۳/۲	۶/۶۲۵

## نتایج

### ۱- مقایسه نتایج بدست آمده از شبیه ساز اسپن با نتایج پادماواتی

مقایسه تغیرات دماهی مدل پادماواتی [۱۴] با شبیه ساز اسپن در جداول (۸) و (۹) ارائه شده‌اند. منظور از  $T_{in}$  در این جدول، دماهی ورودی به هر راکتور، بعد از خروج جریان از گرم کن های مربوطه (H-3 و H-2، H-1) می باشد.

<sup>۱</sup>Plug Reactor

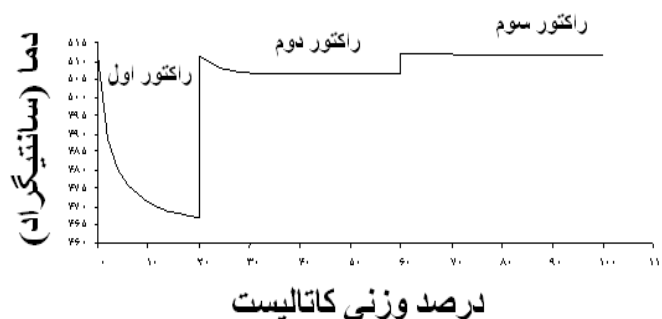
پروفایل دمای خروجی از راکتورهای ۱ تا ۳ برای موردهای مطالعاتی ۱ و ۲ در شکل‌های (۲) و (۳) ارائه شده‌اند. همان طوری که پیش بینی می‌شد، راکتور ۱ بیشترین تغییرات دمایی و راکتور ۳ کمترین تغییرات دمایی را دارد.

جدول ۸. مقایسه تغییرات دمایی راکتورها در مورد مطالعاتی ۱

	اختلاف دما (پادماواتی) (اسپن)	اختلاف دما (درجه سانتیگراد) (دما ورودی)
راکتور اول	-۴۴/۴۵	۵۱۱/۴
راکتور دوم	-۵/۰۳	۵۱۱/۲
راکتور سوم	-۰/۰۸	۵۱۱/۷

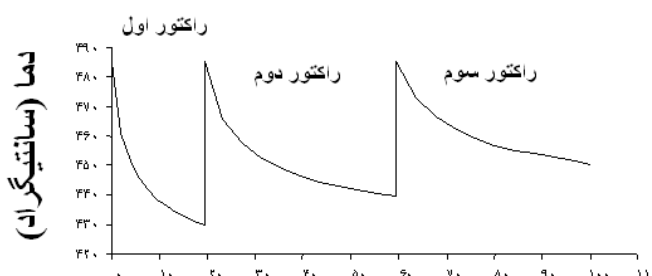
جدول ۹. مقایسه تغییرات دمایی راکتورها در مورد مطالعاتی ۲

	اختلاف دما (پادماواتی) (اسپن)	اختلاف دما (درجه سانتیگراد) (دما ورودی)
راکتور اول	-۵۴/۸۸	۴۸۵
راکتور دوم	-۴۵/۴۹	۴۸۵
راکتور سوم	-۳۴/۴	۴۸۵



درصد وزنی کاتالیست

شکل ۲. پروفایل دما در برابر درصد وزنی کاتالیست در راکتورهای مورد مطالعاتی ۱



درصد وزنی کاتالیست

شکل ۳. پروفایل دما در برابر درصد وزنی کاتالیست در راکتورهای مورد مطالعاتی ۲

در جدول (۱۰)، مقایسه‌ای بین درصد آروماتیک‌های خروجی ( $C_9$  تا  $C_6$ ) از شبیه ساز اسپن با مدل پادماواتی صورت گرفته است. در مرجع [۱۴] برای مورد مطالعاتی ۲، نتایجی گزارش نشده است.

جدول ۱۰. مقایسه نتایج حاصل از شبیه ساز اسپن با مدل پادماواتی

نام ترکیب	مورد مطالعاتی ۱		مورد مطالعاتی ۲	
	درصد جرمی (پادماوات)	درصد جرمی (اسپن پلاس)	درصد جرمی (پادماوات)	درصد جرمی (اسپن پلاس)
بنزن	۳۷/۵۶	۴۱/۵۲	۲/۱۹	گزارش نشده
تولوئن	۵/۲۵	۳/۹۶	۱۲/۱۶	گزارش نشده
اتیل بنزن	.	.	۱۹/۶۱	گزارش نشده
۴و۲۱ تری متیل بنزن	.	.	۳/۶۶	گزارش نشده

## ۲- مقایسه نتایج بدست آمده از شبیه ساز Aspen با نتایج عملیاتی پالایشگاه تهران

نتایج بدست آمده از قراردادن شرایط عملیاتی پالایشگاه تهران در شبیه ساز اسپن و مقایسه آن با شرایط پالایشگاه تهران بر اساس سینتیک پادماواتی، در جدول (۱۱) (مقایسه تغییرات دمایی) و جدول (۱۲) <sup>۱</sup>PONA محصول خروجی واحد تبدیل کاتالیستی نفتا) آورده شده‌اند. ملاحظه می‌گردد که خطای قابل توجهی بین نتایج شبیه سازی و نتایج عملیاتی وجود دارد که عملاً کاربرد شبیه‌ساز را بصورت عملیاتی غیرممکن می‌سازد. علت اصلی این خطأ در این است که سینتیک استفاده شده در مراجع برای کاتالیست و خوراکی خاص بدست آمده و می‌توان نتیجه گرفت که استفاده از چنین اطلاعاتی بطور عملیاتی از دقت بالایی برخوردار نیست.

در جدول (۱۳)، سینتیک تنظیم شده‌ای برای پالایشگاه تهران ارائه شده است که با استفاده از ابزار بهینه‌سازی و تنظیم ضرایب شبیه ساز اسپن پلاس و با کمینه نمودن اختلاف بین نتایج شبیه‌ساز و نتایج عملیاتی بدست آمده‌اند. همانطور که در جداول (۱۱) و (۱۲) مشاهده می‌گردد، خطای مطلق میانگین <sup>۲</sup> شبیه سازی پس از تنظیم ضرایب قابل قبول بوده و نشان‌دهنده صحت ضرایب سینتیکی بدست آمده برای مدل است.

جدول ۱۱. مقایسه تغییرات دمایی راکتورها با پالایشگاه تهران

	$T_{in}$ (°C)	$T_{out}$ (°C) (عملیاتی)	$T_{out}$ (°C) (پادماواتی)	$T_{out}$ (°C) (تنظیم شده)	درصد خطای مطلق میانگین
راکتور اول	۴۹۷/۸	۴۷۷/۷۸	۴۳۶/۷	۴۴۷/۴	۶/۳۵
راکتور دوم	۴۹۷/۸	۴۷۷/۷۸	۴۴۸/۵	۴۷۴	۰/۷۹
راکتور سوم	۴۹۸/۹	۴۹۵/۸۹	۴۵۴/۷	۴۹۲/۲	۰/۷۴

<sup>۱</sup> Paraffin-Olefin-Naphthene-Aromatic (PONA)

<sup>۲</sup> Absolute average deviation (AAD)

### جدول ۱۲. مقایسه PONA مخصوص خروجی

	عملیاتی	پادماواتی	تنظیم شده	درصد خطای مطلق میانگین
پارافین	۳۳/۱	۴۲/۵	۳۳/۸۲	۲/۱۷
نفتن	-	۳/۸	۰/۰۱۷	-
آروماتیک	۶۲/۹	۵۳/۷	۶۴/۴۵	۲/۴۶

### جدول ۱۳. انرژی اکتیواسیون و ضریب آرنیوس تنظیم شده واکنش های ۱ تا ۱۲ (مسیر رفت)

		(E/R)*10 <sup>-3</sup> K	ln(A) kmol/h.kgcat.kPa
ACH <sub>n</sub> ↔ A <sub>n</sub> + 3H <sub>2</sub>	C6	34.61	49.22
	C7	19.50	28.28
	C8	19.50	28.45
	C9	19.50	29.30
ACH <sub>n</sub> + H <sub>2</sub> ↔ IP <sub>n</sub> **	C6	33.11	30.98
	C7	33.11	31.04
	C8	33.11	31.92
	C9	33.11	31.77
ACH <sub>n</sub> + H <sub>2</sub> ↔ IP <sub>n</sub> **	C6	33.11	32.97
	C7	33.11	33.37
	C8	33.11	35.57
	C9	33.11	36.37
NP <sub>n</sub> ↔ ACP <sub>n</sub> + H <sub>2</sub>	C6	33.11	30.98
	C7	37.19	41.53
	C8	37.72	44.79
	C9	37.58	46.79
IP <sub>n</sub> ↔ ACP <sub>n</sub> + H <sub>2</sub>	C6	33.11	30.98
	C7	33.11	35.74
	C8	33.11	42.60
	C9	33.11	44.18
ACH <sub>n</sub> ↔ ACP <sub>n</sub>	C6	26	32.69
	C7	26	32.69
	C8	26	32.69
	C9	26	32.69
NP <sub>n</sub> ↔ IP <sub>n</sub>	C6	26	31.09
	C7	26	31.09
	C8	26	36.10
	C9	26	31.49
NP <sub>n</sub> + (n-3)/3 H <sub>2</sub> → n/15 (CH <sub>4</sub> +C <sub>2</sub> H <sub>6</sub> +C <sub>3</sub> H <sub>8</sub> +C <sub>4</sub> H <sub>10</sub> +C <sub>5</sub> H <sub>12</sub> ) *	C6	34.61	49.216
	C7	34.61	49.416
	C8	34.61	49.516
	C9	34.61	51.416
IP <sub>n</sub> + (n-3)/3 H <sub>2</sub> → n/15 (CH <sub>4</sub> +C <sub>2</sub> H <sub>6</sub> +C <sub>3</sub> H <sub>8</sub> +C <sub>4</sub> H <sub>10</sub> +C <sub>5</sub> H <sub>12</sub> ) *	C6	34.61	51.719
	C7	34.61	49.516
	C8	34.61	51.919
	C9	34.61	51.416
ACH <sub>n</sub> , ACP <sub>n</sub> + 2n/3 H <sub>2</sub> → n/15 (CH <sub>4</sub> +C <sub>2</sub> H <sub>6</sub> +C <sub>3</sub> H <sub>8</sub> +C <sub>4</sub> H <sub>10</sub> +C <sub>5</sub> H <sub>12</sub> ) *	C6	34.61	48.613
	C7	34.61	49.113
	C8	34.61	50.113
	C9	34.61	50.613
A <sub>n+1</sub> + H <sub>2</sub> → A <sub>n</sub> + CH <sub>4</sub> <sup>+</sup>	C6 - C7	17.92	5.57

Units of A: \*\* kmol/h.kg cat.kPa<sup>2</sup>

\* kmol/h.kg cat

+ kmol/h.kg cat.kPa<sup>1.5</sup>

## منابع خطا

- ۱- ابعاد راکتورهای موردهای مطالعاتی در مرجع [۱۴] گزارش نشده، در نتیجه راکتورها از لحاظ ابعادی مشابه با ابعاد پالایشگاه تهران در نظر گرفته شده است.
- ۲- دانسیته ظاهری کاتالیست، مشابه با پالایشگاه تهران در نظر گرفته شده است.
- ۳- آنالیز خوراک ورودی (نسبت نرمال پارافین‌ها به ایزو پارافین‌ها و سیکلوهگزان‌ها به سیکلوپنتان‌ها) مشابه با خوراک نفتای ورودی به واحد ریفرمینگ پالایشگاه تهران در نظر گرفته شده است.
- ۴- فشار و دمای فلاش در مرجع [۱۴] گزارش نشده است، فشار و دمای فلاش از تشابه با شرایط پالایشگاه تهران بدست آمده‌اند.
- ۵- بعضی از اجزای خوراک در آنالیز خوراک ورودی پالایشگاه، دقیقاً مشخص نشده‌اند.

## جمع بندی

در این فاز، با استفاده از سینتیک ارائه شده توسط پادماواتی، به کمک نرم افزار شبیه ساز اسپن پلاس، یک واحد تبدیل کاتالیستی نفتا عنوان نمونه، شبیه سازی شده و سپس نتایج بدست آمده با نتایج ارائه شده توسط پادماواتی، مقایسه شدند که نتایج نسبتاً قابل قبول بوده و نمودار PONA بدست آمده با اصول واحد تبدیل کاتالیستی نفتا (کاهش نفتانها و افزایش آروماتیک‌ها) مطابقت دارد. سپس به کمک این مژول تهیه شده در شبیه ساز اسپن پلاس، واحد تبدیل کاتالیستی نفتای پالایشگاه تهران مورد شبیه سازی قرار گرفت که خطای شبیه سازی با اطلاعات عملیاتی نسبتاً قابل توجه است. علت اصلی این خطا، کاربردی نبودن سینتیک ارائه شده در مراجع برای واحدهای عملیاتی دیگر است که قبل از استفاده باید برای پالایشگاه هدف و بر اساس اطلاعات عملیاتی آن، تنظیم شوند. پس از انجام تنظیمات ثوابت سینتیکی و جایگذاری مجدد آن در شبیه ساز، نتایج بدست آمده، با نتایج عملیاتی پالایشگاه تهران، خطای قابل قبولی را ارائه می‌دهد که اثبات کننده ادعای فوق است.

## منابع

1. Little D.M., "Catalytic Reforming", PennWell Book Publishing Company, 1985.
2. Antons G.J., Aitani A.M., "Catalytic Naphtha Reforming", Second Edition, Marcel Dekker Inc., 2004.
3. Nelson W.L., Petroleum Refinery Engineering, 4th Edition, McGraw Hill, New York, 1985
4. Mohaddecy S.R., Sadighi S., Bahmani M., "Optimization of catalyst distribution in the catalytic naphtha reformer of Tehran Refinery", Petroleum & Coal, 50(2), 2008, pp. 60-68.

۵. سید رضا سیف محدثی، سپهر صدیقی، مجید بهمنی، بابک گلزاری، "استفاده از نرم افزار پتروسیم به منظور افزایش عدد اکتان بنزین در فرآیند تبدیل کاتالیستی شرکت پالایش نفت شهید تندگویان با بهینه سازی توزیع کاتالیست"، فرآیند نو، شماره ۱۰، آبان ۱۳۸۶.
۶. ابوالفضل عسگری، هجیر کریمی، محمود رضا رحیمی، "مطالعه تاثیر شرائط عملیاتی روی عملکرد فرآیند تبدیل کاتالیستی پالایشگاه اصفهان با بکار گیری شبیه ساز پتروسیم"، فرآیند نو، شماره ۳۷، بهار ۱۳۹۱.
7. Iranshahi D., Pourazadi E., Paymooni K., Rahimpour M.R., "Enhancement of aromatic production in naphtha reforming process by simultaneous operation of isothermal and adiabatic reactors", International Journal of Hydrogen Energy, 36(3), 2011, pp. 2076-2085
8. Hou W., Su H., Hu Y., Chu J., "Modeling, Simulation and Optimization of a Whole Industrial Catalytic Naphtha Reforming Process on Aspen Plus Platform", Chinese Journal of Chemical Engineering, 14(5), 2006, pp. 584-591
9. Weifeng H., Hongye S., Shengjing M., Jian C., "Multiobjective Optimization of the Industrial Naphtha Catalytic Reforming Process", Chinese Journal of Chemical Engineering, 15(1), 2007, pp. 75-80.
10. Shakoor Z.M., "Catalytic Reforming of Heavy Naphtha, Analysis and Simulation", Diyala Journal of Engineering Sciences, 4(2), 2011, pp. 86-104.
11. Ancheyta J., Villafuerte E., "Kinetic Modeling of Naphtha Catalytic Reforming Reactions", Energy & Fuels, 14, 2000, pp. 1032-1037
12. Arani H.M., Shirvani M., Safdarian K., Dorostkar E., "Lumping Procedure for a Kinetic Model of Catalytic Naphtha Reforming", Brazilian Journal of Chemical Engineering, 26(4), 2009, pp. 723-732.
13. Wei W., Bennett C.A., Tanaka R., Hou G., Klein M.T., "Detailed kinetic models for catalytic reforming", Fuel Processing Technology, 89, 2008, pp. 344-349.
14. Padmavathi G., Chaudhuri K., "Modeling and Simulation of Commercial Catalytic Naphtha Reformers", Research Centre, Indian Petrochemicals Corporation, The Canadian Journal of Chemical Engineering, 75, 1997, pp. 930-937.
15. Raouf S.R., Sukkar K.R., Hamied R.S., "Heavy Naphtha Reforming Reactions with Tri-metallic Catalysts, Experimental and Analytical Investigation", Engineering & Technology Journal, 29(10), 2011, pp. 1917-1935.